

九州大学 工学部 正員 橋 東一郎
 九州大学 工学部 正員 小松 利光
 九州大学 工学部 学生員 〇川上 義幸
 九州大学 工学部 学生員 菅原 稔

1. まえがき

海面上(密度 ρ_a)に放射される温排水(密度 ρ)などの三次元表面強度噴流については、さきに着らにより、
 放出口の内部フルード数 F_{r0} の大きい場合について、放出口を Point source として理論解析が行われ実験結果と
 の良好な一致が得られた¹⁾。しかし、Tamai, Wiegel, Tornberg²⁾らが指摘しているように、放出口の内部フル
 ード数が小さく浮力効果が卓越した場合は二層流的な流れとなり、もはや Point source とみなすことができない。
 ここでは、 F_{r0} の小さい場合について、放出口を line source とみなし、噴流水深を一定と仮定し理論解析を
 行なって、実験結果と比較検討した。

2. 理論的考察

x 方向の運動方程式および拡散方程式は、単位質量あたりの平均浮力を $B = g(\rho_a - \rho) / \rho_a$ とし次の方
 である。

$$\frac{\partial U^2}{\partial x} + \frac{\partial VU}{\partial y} + \frac{\partial WU}{\partial z} = -\frac{\partial}{\partial x} \int_0^\infty B dz + \frac{\partial}{\partial y} (K_H \frac{\partial U}{\partial y}) + \frac{\partial}{\partial z} (K_V \frac{\partial U}{\partial z}) \quad (1)$$

$$\frac{\partial UB}{\partial x} + \frac{\partial VB}{\partial y} + \frac{\partial WB}{\partial z} = -\frac{\partial \overline{v^2}}{\partial y} - \frac{\partial \overline{w^2}}{\partial z} \quad (2)$$

$$U = U_c f_1(\eta) \cdot f_2(\zeta), \quad B = B_c m_1(\eta) \cdot m_2(\zeta)$$

$$\eta = y/\delta, \quad \zeta = z/h$$

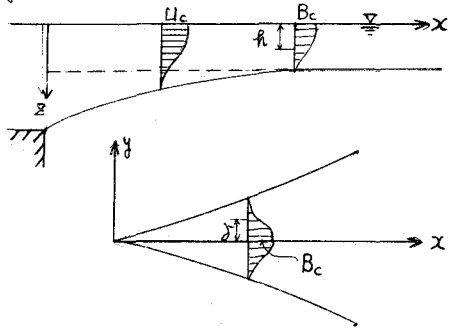


図-1 流れの様式図

噴流拡散幅 δ 、噴流水深 h は、それぞれ B が噴流中心軸
 上表面浮力 B_c の $1/2$ となる点で定義されている。 h は図-1
 に示したように、 F_{r0} が小さい場合には浮力効果により噴流
 は放出口を出るとすぐ押し上げられ、その後 h が一定
 に保たれ、噴流の拡がり δ は横方向の拡散が支配的となる⁴⁾。

式(1), (2)を $z = 0 \sim \infty, y = 0 \sim \infty$ の範囲で積分すると、flow force M_0 と、浮力 flux N_0 の保存式

$$2 I_1 I_2 h \delta U_c^2 + 2 I_3 I_4 h^2 B_c \delta = M_0 (= \text{const.}) \quad (3)$$

$$2 I_5 I_6 \delta h U_c B_c = N_0 (= \text{const.}) \quad (4)$$

$I_1 = \int_0^\infty f_1^2 d\eta, I_2 = \int_0^\infty f_2^2 d\zeta, I_3 = \int_0^\infty m_1 d\eta, I_4 = \int_0^\infty \zeta m_2 d\zeta, I_5 = \int_0^\infty f_1 m_1 d\eta, I_6 = \int_0^\infty f_2 m_2 d\zeta$
 が得られる。

また、(1)式に U をかけて得られる平均流のエネルギー方程式は、

$$\frac{1}{2} I_7 I_8 h \frac{d}{dx} (\delta U_c^3) = -I_5 I_9 h^2 \frac{d}{dx} [U_c B_c \delta] + I_5 I_7 B_c h^2 \delta \frac{dU_c}{dx} - I_9 I_{10} B_c h^2 U_c \frac{d\delta}{dx} - a_H I_{11} \Psi(R_1) \cdot h U_c^3 - \frac{2}{3} a_H I_{11} X(R_1) \delta U_c^3 \quad (5)$$

$$I_7 = \int_0^\infty f_1^3 d\eta, I_8 = \int_0^\infty f_2^3 d\zeta, I_9 = \int_0^\infty \int_0^\infty m_1 m_2 d\eta d\zeta, I_{10} = \int_0^\infty \eta m_1 \frac{dm_1}{d\eta} d\eta, I_{11} = \int_0^\infty (\frac{dU_c}{d\zeta})^2 d\zeta, a_H = 0.032$$

$\Psi(R_1), X(R_1)$ は、渦動粘性係数の浮力効果による減衰の程度と表わす関数¹⁾である。

ここで、 h, δ, U_c, B_c と M_0, N_0 と無次元化すると

$$H = h N_0^{2/3} / M_0^{1/3}, \quad \Delta = \delta N_0^{2/3} / M_0^{1/3}, \quad \bar{U} = N_0^{1/3} / M_0^{2/3} U_c$$

$$\bar{B} = N_0^2 / M_0^2 B_c \quad \xi = N_0^2 x / M_0^2$$

と表わされ、overall Richardson 数として $Ri = N_0 / 2.5 U_0^2$ と導入すると、式(3), (4), (5) は、

$$\Delta^2 = \frac{\Gamma_1}{H} \cdot \frac{R_i^{2/3}}{1 + \Gamma R_i} \quad (6)$$

$$\bar{B} = \Gamma_0 \frac{\Delta^2 \cdot R_i^2}{1 + \Gamma R_i} \quad (7)$$

$$\frac{d}{d\xi} \left(\frac{1}{R_i} \right) = \Gamma_1 \frac{R_i^2}{(1 + \Gamma R_i)^2} \cdot \frac{d}{d\xi} \left(\frac{1 + \Gamma R_i}{R_i^2} \right) - \Gamma_2 \frac{(1 + \Gamma R_i)^2}{R_i^2} \cdot \frac{d}{d\xi} \left(\frac{R_i^2}{(1 + \Gamma R_i)^2} \right) \\ - \Gamma_3 a_H \Psi(R_i) \cdot H^2 \frac{(1 + \Gamma R_i)^3}{R_i^2} - \Gamma_4 a_H \frac{1}{H} \chi(R_i) \frac{1}{R_i} \quad (8)$$

$$\Gamma = I_3 I_4 / I_1 I_2 I_4, \quad \Gamma_0 = 2^{1/2} I_3 I_4 / I_1 I_2, \quad \Gamma_1 = 2/3 \cdot I_7 / I_0 I_2 I_3$$

$$\Gamma_2 = 2^{1/2} I_0 / I_3 I_4 I_7, \quad \Gamma_3 = 4 I_1 I_4 / I_7 I_3, \quad \Gamma_4 = 4/3 \cdot I_{11} /$$

となる。

$R_i \rightarrow 0$ の極限が均一流体の Plane jet である。均一流体のものに添字 * をつけると、

$$\Delta_* = a_1 \xi^{P_1} \quad R_{i*} = a_2 \xi^{P_2}$$

において、 $R_i \rightarrow 0$ とし式(6)に代入し、permanent type であるための条件を求めると、 $P_1 = 1, P_2 = 1/2$ となり、 $\Delta_* = a_1 \xi$ で噴流幅の流れ方向の変化は良く知られているように直線的に振る。仮想原点、 $x = 0$ に噴流の line source が存在するとして、境界条件 $\Delta = 0$ で $R_i = 0$ のもとに式(8)を数値積分し Δ と R_i の関係を求める。その結果を式(6), (7)に代入すると、 Δ, \bar{B} と ξ の関係が得られ、 $\xi = 0$ で均一噴流を含む図-3 図-4 のようになる。こゝに、 f_1, f_2, m_1, m_2 は Gauss 分布を用いた。また、 H は図-2 の Pande の実験結果を参照して $H = 0.12$ とした。これは、point source の表面密度噴流の場合の H_{max} に相当する。¹⁾ 図-3, 図-4 には、Pande, 林³⁾ による我々の実験結果がプロットされている。理論と実験結果は、 ξ が大きくなると多少違いが生じるがほぼ同じ傾向を示しているといえる。

[参考文献]

- 1) 猪・小松；三次元表面密度噴流について、才22回水理講演会論文集 1978
- 2) Tamai, N., Wiegel, R. L. and Tornberg, G. F.; Horizontal surface discharge of water jets, A.S.C.E October 1969
- 3) Hayashi, T., Shuto, N.; Diffusion of warm water jet discharged horizontally at the water surface, IAHR 1969
- 4) Pande B. B. Lal, N. Rajaratnam; An experimental study of bluff buoyant turbulent surface jet Journal of Hydraulic Research 15 1977

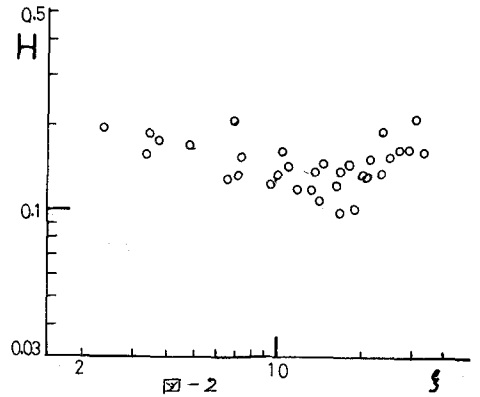


図-2

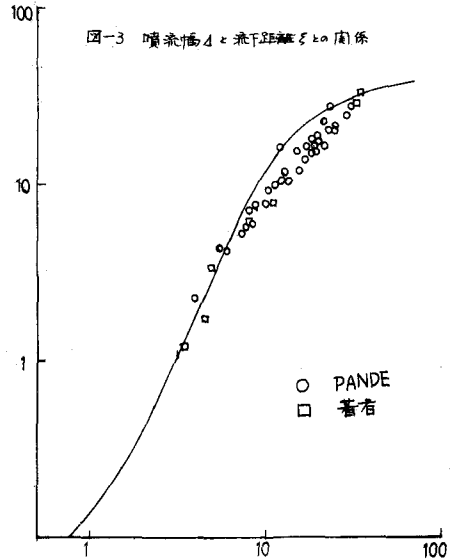


図-3 噴流幅 Δ と流下距離 ξ の関係

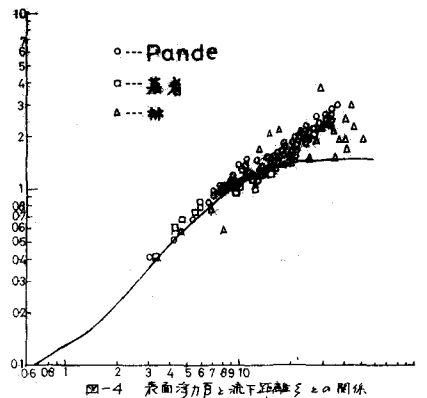


図-4 表面浮力層と流下距離 ξ の関係